



Vista de detalle de los sedimentos mioce-  
nos  $T_{c1}^B$ , constituidos por arcillas, de can-  
tos y bloques redondeados (Al SE de Hon-  
rubia).

Neg. 1RN-11

Estación 298

Afloramiento de calizas dolomíticas Turo-nienses en bancos masivos, con buzamiento S (Cra. de El Pinarejo a Castillo de Garcimúñoz).

Neg. 1RN-33 Estación 343



Frente de cantera abiertos en las calizas  
brechoides del senoniense superior. So-  
bre ellos se extiende la llanura de materia-  
les oligocenos (Cra. de El Pinarejo a Castillo  
de Garcimuñoz).

Neg. 1RN-35

Estación 344





Aspecto local de niveles oquerosos en el techo del Turoniense, formados por calizas dolomíticas rojas (Cra. de El Pinarejo a Castillo de Garcimuñoz).

Neg. 1RN-39      Estación 345



Vista de los niveles arenosos abigarrados de la formación Utrillas (Zona próxima a El Pinarejo).

Neg. 1RN-41

Estación 346



Detalle de las arenas siliceas de la formación Utrillas, en las cercanías de El Pinarejo.

Neg. 1RN-43

Estación RN-347

Estratificación cruzada en los niveles ar-  
cillo-arenosos del Oligoceno (Al O de La  
Alberca de Záncara)

Neg. 1 RN-47      Estación 348





Caliche cuaternario en las proximidades  
de Honrubia.

Neg. 1RN-49      Estación 342



Detalle de materiales arenosos con cantos redondeados de los depósitos pliocenos (al O de La Alberca de Záncara).

Neg. 1RN-49

Estación 349

Vista de detalle de silex de hábito travertinico,  
creciendo por sustitución en los yesos masivos  
miocenos. (Al E de La Alberca de Záncara).

Neg. 1RN-53      Estación 350





Vista general de explotaciones de yesos ma-  
sivos oligocenos ( $Ty_{c3}^A$ ), situadas al S de El  
Cañavate.

Neg. 1RN-55

Estación 351.



Detalle de la brecha oligocena  $Tg_{C3}^A$ ; los cantos son de calizas y la matriz es arcillosa calcarea de color rojizo.

Neg. 1RN-59

Estación 356



Vista general de la terminación periclinal en el anticlinal cretácico de el Cañavate.

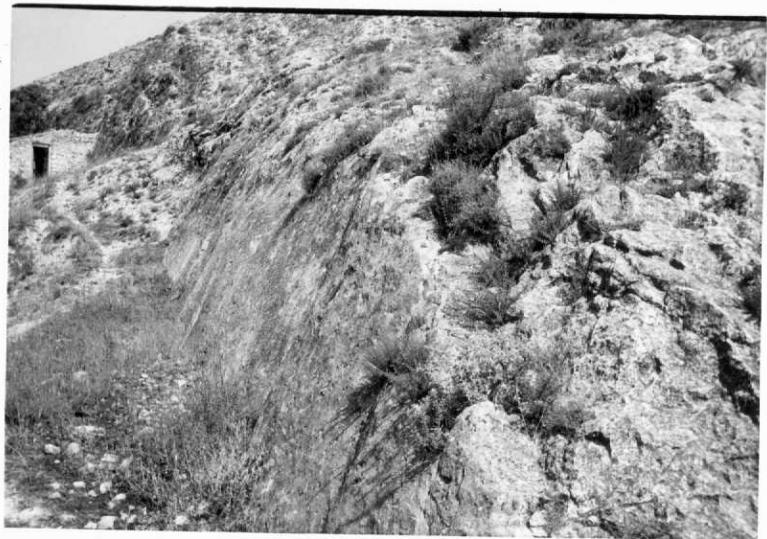
Neg. 1RN-67

Estación 352

Plano de falla en el anticlinal de El Cañavate.

Neg. 1RN-69

Estación 355





Pliegue en capas calizas Senonienses en el flanco S del anticlinal de El Cañavate. (Dirección del eje del pliegue 100° E).

Neg. 1RN-71

Estación 354



Detalle de un espejo de falla en el flanco S  
de anticlinal de El Cañavate.

Neg. 1RN-73

Estación 353

Aspecto parcial de la "Laguna Grande" al SO de Honrubia. Surgencia permanente por la escasa profundidad del substrato cretacico.

Neg. 1RN-9      Estación 341



Cantos entre niveles arcillosos yesíferos  
 $T_y^A_{c3}$  (abajo) y detriticos  $T_c^A_{c3}$  (arriba) del  
Oligoceno.

